

内 容 简 介

本选编是 1975 年召开的超铀元素分析会议资料选编。其中有报告 19 篇，工作简报和摘要 24 篇，共 43 篇。

选编介绍了核燃料生产工艺中超铀元素镎、钚、镅、锔及其某些杂质元素的分析，这些分析方法的选题一般都来源于生产实际需要，并经过生产实践的考验。分析方法包括能谱法、光谱法、X 射线法、质谱法、极谱法、色谱法、萤光法和分光光度法等。选编中对于钚的基准物质四水硫酸钚的制备及其鉴定、纯二氧化镎的制备及其镎含量的测定也做了介绍。

本选编可供生产和科研战线上从事分析工作的工人和科技人员参考。

超铀元素分析

(1975 年会议资料选编)

《超铀元素分析》编辑组

原子能出版社出版

原子能出版社印刷厂印刷

新华书店北京发行所发行 · 新华书店经售

(内部发行)



开本 787×1092¹/₁₆·印张 13¹/₄·字数 318 千字

1977 年 10 月北京第一版 · 1977 年 10 月北京第一次印刷

统一书号：15175·085

定 价：1.25 元

目 录

高浓度钚溶液中钚的分光光度测定	1
X射线计数法测定钚	4
三异辛胺萃取 α 计数法测定微量钚	13
钚的分析基准物质四水硫酸钚的制备及其鉴定结果	22
恒流库仑法测定钚	27
四水硫酸钚中硫酸根的光度称量滴定	33
萃取色层分离光谱法测定四水硫酸钚中15种杂质元素	39
二氧化钚中微量杂质元素的真空蒸发光谱法测定	47
钚溶液中微量铜的直接分光光度测定	61
低压燃烧-气相色谱法测定金属钚、二氧化钚中的微量碳	66
纯二氧化镎的制备及其镎含量的电位滴定	71
镎的方波极谱测定	76
镎-237的X射线测定	84
溶液中微量镎的TTA萃取 α 计数法测定	91
二氧化镎中微量铀的分离与测定	97
二氧化镎中微量钍的分离与测定	103
微量镅-241的TTA萃取- α 计数法测定	109
硝酸溶液中钚和镅的联合测定	114
α 、 β 量热装置测定同位素的放射性强度	119

工 作 简 报

二氧化钚中钚的自动电位滴定	129
尾液中微量钚的TTA萃取- α 计数法测定	133
四水硫酸钚中钚的电位法测定	137
安培滴定法测定钚	141
四水硫酸钚中钚的测定(改进的安培滴定法)	147
钚镓合金中铝的分光光度法测定	150
钚钛合金中钛的分光光度法测定	156
“V”型灯丝表面离化质谱法测定钚-240丰度	160
二氧化钚及草酸钚中微量铀的溶剂萃取-固体萤光法测定	166
钚中微量铀的Br-PADAP分光光度法测定	170
偶氮胂Ⅲ分光光度法测定微量镎	175
偶氮胂Ⅲ分光光度法测定微克量的镎	179
含有铀、钚和镎的30%TBP-煤油溶液中微量镎-237的测定	183

用 TTA-二甲苯萃取-阴离子交换法从大量钚中分离测定镎	187
二氧化镎中微量铁的分光光度法测定	190
离子交换色层法分离镅-241、钷-147 和铕-155	194
过硫酸铵氧化-氟化镧载带法分离镅和锔	199

摘 要

微量络合滴定法测定镎	204
偶氮胂 K 分光光度法测定大量铀中微量镎	204
化学光谱法测定二氧化镎中八个杂质元素	204
在草酸-硝酸体系中微量镅、锔的电沉积	205
在异丙醇中微量镅、锔的电沉积	205
半导体 α 谱仪在 ^{237}Np 、 Pu 、 ^{241}Am 、 ^{242}Cm 混合试样鉴定、分析中的应用	205
α -羟基异丁酸-阳离子交换淋洗色层分离三价 f 族离子	206

高浓度钚溶液中钚的分光光度测定

赵宗伟 汪瀛等

本文研究了硝酸和盐酸介质中高浓度钚的直接分光光度测定。样品以 0.5N 硝酸稀释，用盐酸羟胺还原钚至钚(Ⅲ)，于 72 型分光光度计 565 毫微米处直接测定钚含量。该法简便、快速，适用于钚的控制分析。

对于钚含量在 2—100 克/升范围内的样品溶液，测定结果的精密度小于 2%。一定量的钙、镁、铁、铬、镍、铜等杂质对测定无显著干扰。

一、引言

高浓度钚的溶液可利用钚(Ⅲ)、钚(Ⅳ)或钚(VI)离子本身的颜色直接进行分光光度测定^[1]。这种测定方法只适用于较纯的钚体系中，因为某些有色离子的大量存在会干扰钚的直接测定。

钚(Ⅲ)的吸收峰虽不及钚(Ⅳ)敏锐，但它受酸度影响小^[1,2]，同时定量地还原钚至钚(Ⅲ)比氧化钚至钚(Ⅳ)容易实现。

用 X 射线计数法可以快速测定溶液中钚浓度，但当溶液中含有一定量镅时，干扰钚的测定。我们根据钚回收工艺溶液的具体情况拟定了以钚(Ⅲ)形式直接分光光度测定钚含量的方法。在 0.5N 左右的硝酸介质中，用 10% 盐酸羟胺在加热下还原钚至钚(Ⅲ)，用 2 厘米液槽，以水作参比液，在 565 毫微米处进行测量。实验了还原钚的最佳条件及干扰情况，并用合成样品测定了方法的精密度。

二、实验部分

1. 仪器和试剂

72 型分光光度计 2 厘米比色槽。

硝酸 二级，0.5N。

盐酸羟胺 二级，10% 的水溶液。

钚标准溶液 准确称取金属钚约 2 克，溶解于 1:3 的盐酸中，以少量浓硝酸赶尽盐酸，用 4N 硝酸稀释至 100 毫升容量瓶中，此溶液每毫升含钚约 20 毫克。

2. 条件试验

(1) 实验步骤 准确移取 10 毫克钚标准溶液于 10 毫升容量瓶中，依次加入 2 毫升 0.5N 硝酸，1 毫升 10% 盐酸羟胺溶液，摇匀后移至沸水浴中加热 10 分钟，冷却后，以 0.5N

硝酸稀释至刻度，摇匀，将溶液转入2厘米液槽中，以水作参比溶液，在72型分光光度计上于565毫微米处测定吸光度。

(2) 钇(III)的吸收曲线 按上述操作步骤，以10毫克钇观察了钇(III)和试剂空白在480—640毫微米间的吸收曲线，结果如图1所示。

从图1可见，钇(III)在565和602毫微米处均出现吸收峰，而空白的吸收很小，均近于零，我们选在565毫微米处进行测定。

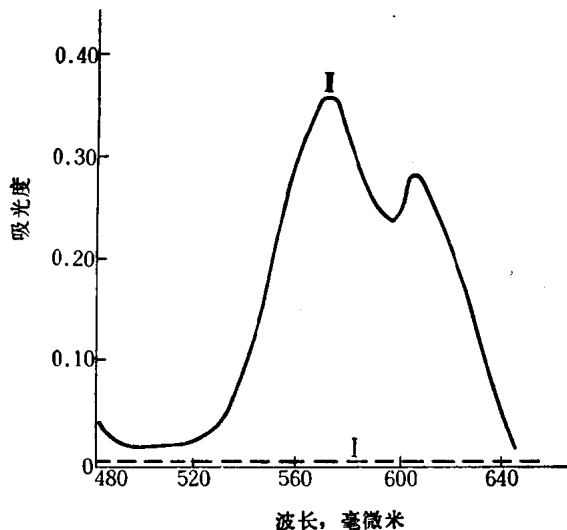


图1 在约0.6N硝酸中钇(III)的吸收曲线

I——空白吸收曲线； II——10毫克钇(III)的吸收曲线。

(3) 还原剂用量的选择 用10%盐酸羟胺作还原剂，在酸度为0.6N左右的硝酸介质中，观察了还原20毫克钇所需要的还原剂用量，结果如图2所示。

从图2看出：加入0.4毫升盐酸羟胺已能定量地还原20毫克钇，我们选用加入1毫升10%盐酸羟胺。

(4) 硝酸浓度对还原的影响 移取含钇量为12毫克的钇标准溶液4份于4个小烧杯中，在电炉上缓慢蒸发至近干，冷却后，分别用0.1、0.5、1.0、1.5N硝酸溶解，转移至10毫升容量瓶中；各加入1毫升10%盐酸羟胺还原后，分别用各自浓度的硝酸稀释至刻度，以下按实验步骤进行测定，结果如表1所示。

表1 硝酸浓度对钇还原的影响

硝酸浓度, N	加入钇量, 毫克	检出钇量, 毫克	误差, %
0.09	12.42	12.42	0
0.45	12.42	12.42	0
0.90	12.42	12.42	0
1.35	12.42	12.47	+0.4

从表1可见，在酸度为0.09—1.35N硝酸溶液中还原钇至钇(III)是定量的，还原的钇(III)在过量还原剂存在下比较稳定，但溶液酸度再高，钇(III)不稳定，因此，我们选择溶液酸度为0.45N左右进行还原。

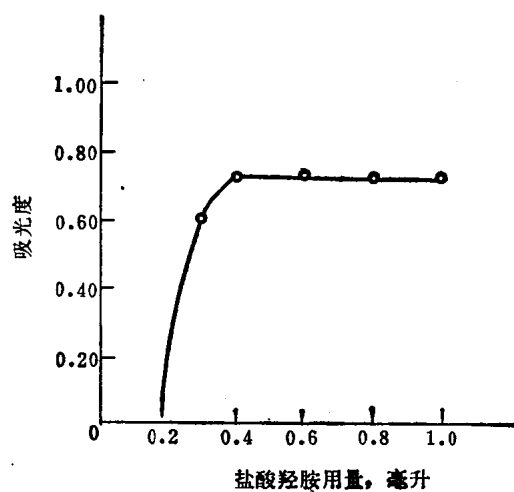


图2 还原剂用量的选择

(5) 还原时间的选择 按上述实验步骤, 观察了在沸水浴(97°C 左右)中, 还原钚的速率, 结果见图3。

图3表明: 在沸水浴中加热还原, 5分钟就能实现定量还原。我们选择在沸水浴温度下还原10分钟是合适的。

(6) 干扰试验 分别测定了某些单个和混合离子对测定钚的影响, 结果见表2。

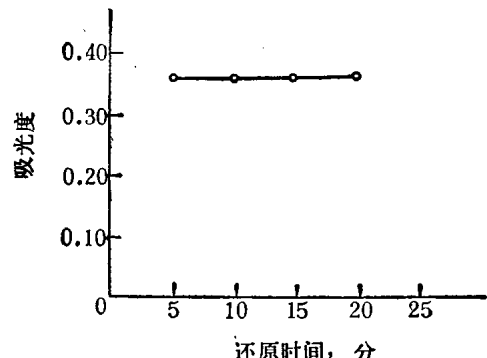


图3 还原时间的选择

表2 干扰试验

共存离子		加入钚量, 毫克	检出钚量, 毫克	偏差, %
离 子	加 入 量, 毫 克			
Ca (II)	10	12.42	12.35	-0.6
Fe (III)	0.8	12.42	12.44	+0.2
Mg (II)	10	12.42	12.44	+0.2
Cr (III)	0.04	11.38	11.46	+0.7
	0.10	12.42	12.50	+0.6
Ni (II)	1.0	12.42	12.42	0
Cu (II)	0.3	12.42	12.38	-0.3
	0.5	12.42	12.40	-0.2
混合杂质*	22.4	19.06	19.10	+0.2

* 混合杂质加入量为10毫克Mg(II), 10毫克Ca(II), 0.8毫克Fe(III), 0.1毫克Cr(III), 1毫克Ni(II)和0.5毫克Cu(II)。

从表2可见: 10毫升测定溶液中含有10毫克镁, 10毫克钙, 0.8毫克铁, 0.1毫克铬, 1毫克镍, 0.5毫克铜对19毫克钚的测定无显著影响。

三、标准曲线的绘制

准确移取0、4.00、8.00、12.00、16.00、20.00毫克钚标准溶液于6个10毫升容量瓶中, 以下操作同实验步骤, 绘制标准曲线如图4所示。

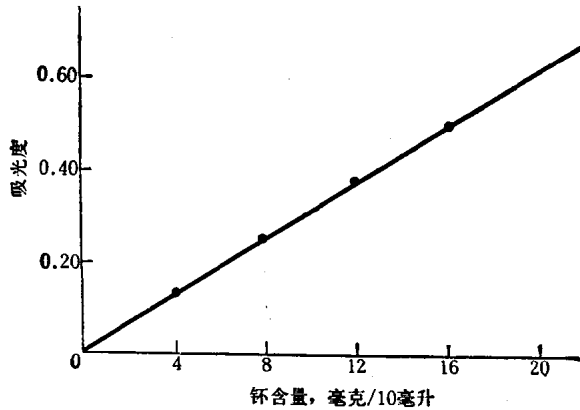


图4 钚(III)的标准曲线

四、推荐的样品分析步骤

准确移取 0.1—2.0 毫升样品溶液(含钚量 2—100 克/升)于 10 毫升容量瓶中, 以下步骤同标准曲线的绘制, 按下式计算样品中钚含量。

$$Pu \text{ 克/升} = \frac{C}{V}$$

式中: C ——从标准曲线上查得的钚含量(毫克);

V ——取样体积(毫升)。

五、精密度实验

按推荐的样品分析步骤, 用合成样品测定了方法的精密度, 合成样品中杂质的加入量与混合干扰同。结果列于表 3。

表 3 精密度实验

序号	加入钚量, 毫克	杂质总量, 毫克	测得钚量, 毫克	平均值, 毫克	标准偏差	精密度, ±%
1	3.79	4.48	3.79, 3.90	3.85	±0.05	1.3
			3.79, 3.85			
			3.90, 3.85			
2	19.06	22.40	19.06, 19.10	19.14	±0.07	0.4
			19.15, 19.20			
			19.08, 19.25			

表 3 表明: 溶液中存在有相当于钚量 1/2 的钙、镁, 1/20 的镍, 1/25 的铁, 1/40 的铜和 1/200 的铬(Ⅲ)时, 测定结果的精密度仍在 ±2% 以内。

参 考 资 料

[1] G. M. Allison, AECL-1371(1961)。

[2] O. J. Wick(美), 钚手册, 212科技图书馆《钚手册》翻译组译, 1972年(内部资料)。

X射线计数法测定钚

赵潭光 于长贤 董俊明 谢金鱼

前 言

在热铀水法处理工艺流程中, 对钚的检测是防止流失及维护核安全的重要环节。因此要求具有快速、准确的检测方法。经复杂的化学处理、费时较多的 α 测量和电位滴定等方

法, 是不能满足要求的。高浓钚虽可直接用比色法进行测定, 但钚的价态容易发生变化而难于应用。不受化学状态约束、无需进行化学处理的X射线计数法则显示出了独特的优越性。钚衰变过程中产生的X射线的穿透能力远比 α 粒子强, 其丰度比 γ 射线或由 α -n反应产生的中子丰度高四百倍以上^[1]。因此, 可以密闭测量并可达到较高的灵敏度。但由于X射线的发生率仅为 α 衰变的4%、能量较低以及裂变产物的 β 、 γ 放射性干扰等原因, 此方法的灵敏度还远不如 α 测量法。

利用X射线计数法测定钚浓度为 10^{-1} 克/升和克/升量级的样品, 相对标准偏差分别为±0.5%和±0.3%, 误差分别为2%和1% (以电位滴定法为准)。该方法已成功地用于流线分析^[2]。

简要原理及装置

钚-239经 α 衰变成为铀-235, 铀-235在退激过程中放出平均能量为17千电子伏的X射线^[3], 其发生率为 α 衰变的4%。因此, 可以通过测量X射线达到定量钚的目的。本实验的装置如图1所示。

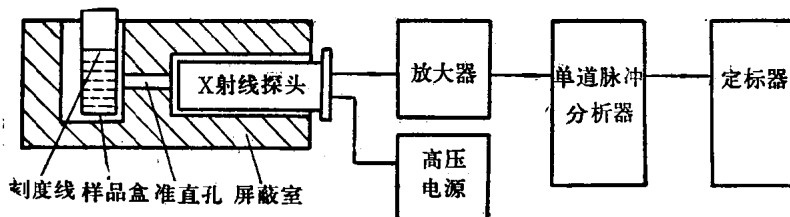


图1 测量装置示意图

装置内X射线探头中的晶体厚为1毫米的碘化钠(铊)闪烁晶体, 这样薄的晶体可以对X射线获得较高的探测效率, 而对裂变产物的高能 γ 射线(其主要成分的能量为几百千电子伏)则效率很低。样品盒采用轻元素构成的材料, 以减少吸收损失。样品厚度及样品与探测器之间的几何位置应严格一致, 以保证准直后有效测量体积固定, 这样, 计数率与钚浓度成正比而与取样量(超过刻度线)无关。

实验部分

一、仪器和试剂

1. 仪器 FJ-421型单道 γ 谱仪。

屏蔽室 自制, (不锈钢壳, 内部灌铅)。

有机玻璃样品盒 自制, 样品厚6毫米。

2. 试剂 钚-239标准溶液 自提纯, 以电位滴定法标定。

镎-237溶液和铀溶液 由工业品提纯, 以电位滴定法标定。

^{241}Am 、 ^{137}Cs 、 ^{95}Zr - ^{95}Nb 及 ^{106}Ru - ^{106}Rh 溶液, 由废液中提取, 物理测量标定 (β 射线绝对测量标定)。

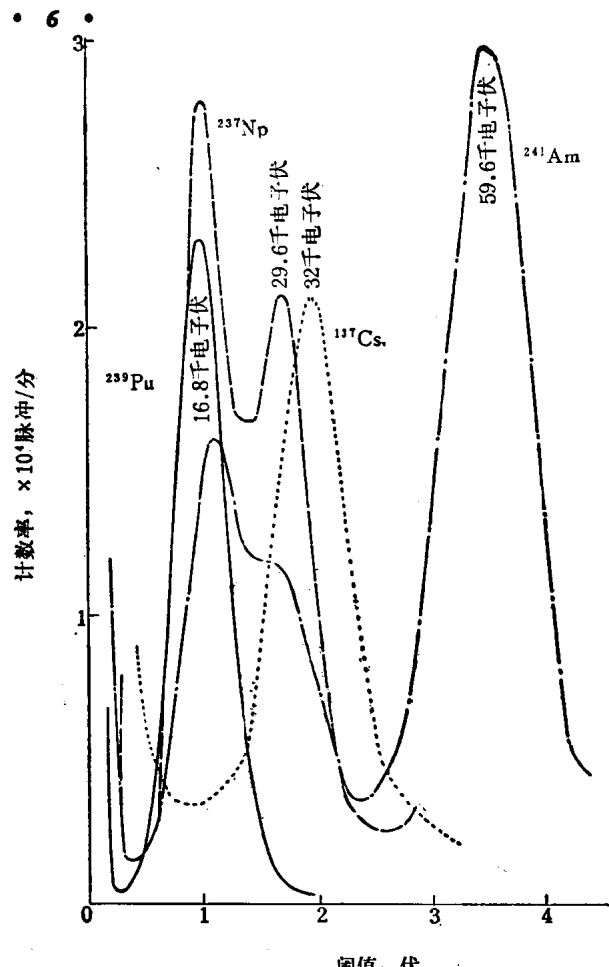


图 2 钚-239、镎-237、镅-241 和铯-137 的射线能谱图

硝酸、硫酸、草酸、高锰酸钾、硝酸钠及硝酸铁均为二级试剂。
磷酸三丁酯，三级。煤油，工业品。

二、条件实验

1. 钚-239 的 X 射线能谱 对钚-239、镅-241、镎-237、及铯-137 诸同位素的 X 射线和低能 γ 射线作了微分谱(图 2)。由后三种元素的诸能量(已知)，可以得出钚-239 的 X 射线能量为 16.8 千电子伏，与文献报道的平均能量为 17 千电子伏相符合^[3]。

整个实验所选择的谱仪工作条件为：高压 860 伏，放大 80 倍，测钚-239 时，甄别阈 0.4 伏，道宽 1.4 伏。

2. 标准曲线 用 1N 硝酸配制成 10^{-4} —30 克/升的一系列钚标准溶液，测定系列中各溶液的计数率，以钚浓度对计数率作图(图 3)。在 2 克/升以下线性良好，2 克/升以上线性变坏是由于钚本身对 X 射线的吸收所致。

3. 样品盒壁厚对 X 射线测量的影响

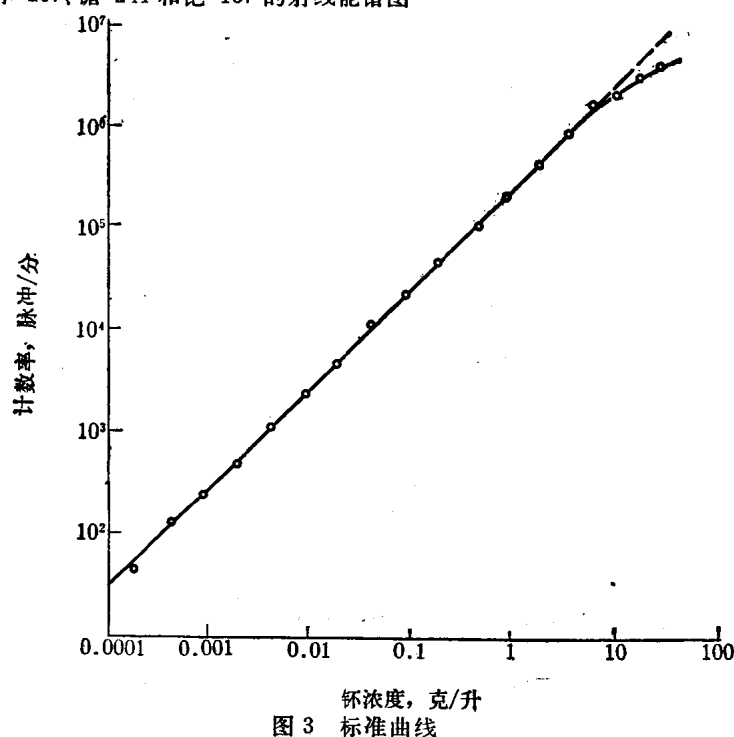


图 3 标准曲线

固定外加钚源，测量不同厚度的有机玻璃对射线的吸收，结果绘于图 4。由图 4 可以看出，为了减少由于吸收造成的损失，应尽量降低样品盒壁厚。本实验选用 1 毫米壁厚的样品盒。

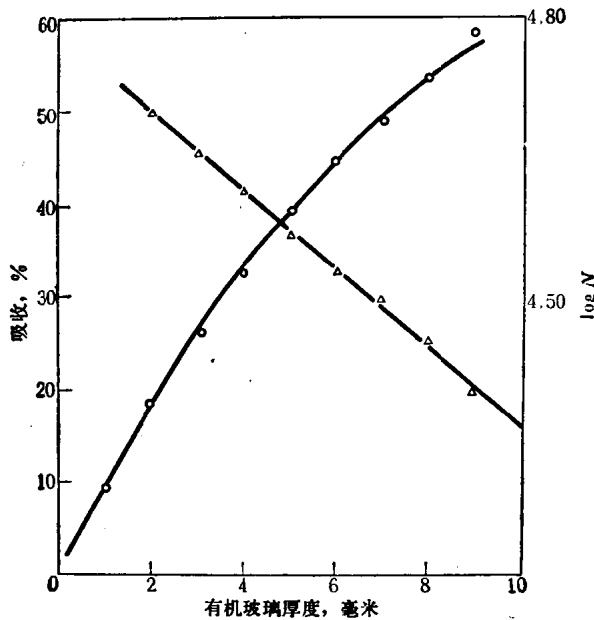


图 4 有机玻璃对 X 射线的吸收

○——吸收曲线；
△—— $\log N$ 曲线 (N 为测得的计数率)。

4. 介质对 X 射线测量的影响

(1) 介质浓度的影响

(i) 硝酸浓度的影响 所测样品厚度为 6 毫米(以下实验相同)，含钚浓度相同，而介质(硝酸)浓度不同时，测得数据列入表 1。

表 1 硝酸对 X 射线的吸收

硝酸浓度, M	≈ 0.1	1	2	3	5	7
计数率, $\times 10^6$ 脉冲/分	2.604	2.582	2.566	2.545	2.503	2.438
吸收, %	0	0.83	1.46	2.27	3.89	6.46

(ii) 磷酸三丁酯(TBP)浓度的影响 固定外加钚源，测量不同浓度的 TBP-煤油溶液对射线的吸收，结果列入表 2。

表 2 TBP 对 X 射线的吸收

TBP 浓度, %	0	5	10	20	30	40
计数率, $\times 10^6$ 脉冲/分	2.334	2.309	2.298	2.252	2.213	2.159
吸收, %	0	1.01	1.55	3.52	5.18	7.58

在表 1 和表 2 中，分别定硝酸浓度接近 0.1M 和 TBP 浓度为零时的吸收为零。由这两表可见，当介质浓度变化不大时，其浓度变化对测量结果的影响可忽略。

(2) 介质厚度的影响

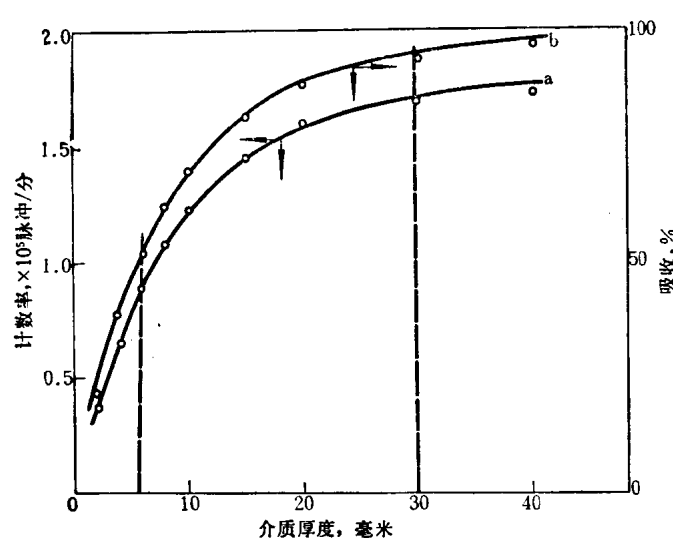


图 5 介质厚度对 X 射线的影响

钚浓度不变(0.3 克/升)，逐渐增加钚溶液厚度，计数率与厚度的关系曲线为图 5 曲线 a。固定外加钚源，逐渐增加吸收液(1 M 硝酸)的厚度，吸收率与厚度的关系曲线为图 5 曲线 b。

由图 5 曲线 a 可以看出，由于介质的吸收，钚溶液厚度增加至 30 毫米以上时，计数率接近饱和。由曲线 b 可见，介质(1 M 硝酸)的半吸收厚度约等于 6 毫米，厚度达 30 毫米以上时，吸收 95% 以上。两条曲线均说明溶液厚度对吸收的影响是很大的。但当固定厚度时，吸收是恒定的。因此，若在样品厚度小于 30 毫米的情况下进行测量，必须使样品厚度一致。本方法选用厚度为 6 毫米而没有选大于 30 毫米者，目的是减少取样量。

5. 杂质对 X 射线测量的影响

(1) 样品中钠、锰、铁、铀等金属离子对 X 射线的吸收

在钚浓度相同[0.3 克(钚)/升]的溶液中，分别加入各种杂质离子，测其计数率，结果绘于图 6。由图 6 可以看出，吸收随原子序数的增加而增加。样品中若存在大量金属离子，尤

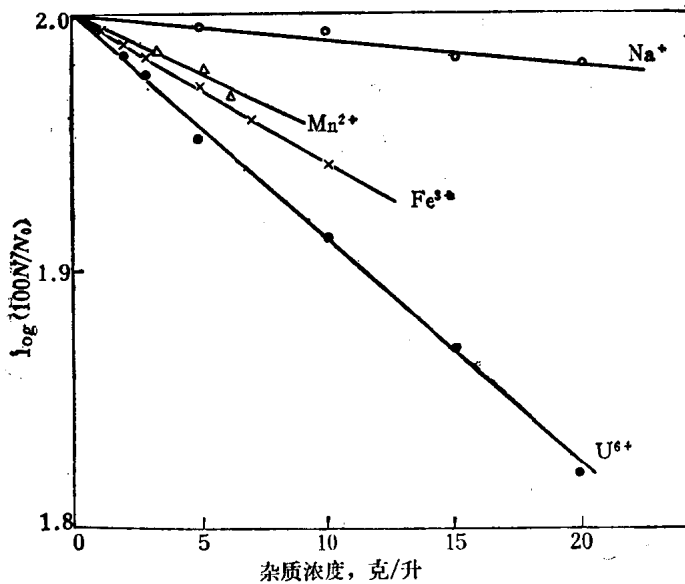


图 6 金属离子对 X 射线的吸收

N ——含有杂质离子的钚溶液计数率；

N_0 ——不含杂质离子的钚溶液计数率

其是重金属离子时，必须用相应的工作曲线加以校正，才能使结果准确。

(2) 样品中硫酸及草酸对测量的影响

实验数据列入表 3 和表 4。数据说明硫酸有一定的影响，但含量小于 0.05M 时可以忽略；草酸的影响是很小的，在 45 克/升以下，没有明显影响。

表 3 硫酸对 X 射线的吸收

硫酸浓度, M	0	0.05	0.1	0.25	0.5	1
计数率, $\times 10^5$ 脉冲/分	1.611	1.584	1.577	1.558	1.501	1.422
吸收, %	0	1.7	2.1	3.3	6.8	12

表 4 草酸对 X 射线的吸收

草酸浓度, 克/升	0	10	30	45
计数率, $\times 10^5$ 脉冲/分	1.740	1.731	1.735	1.729
吸收, %	0	0.52	0.29	0.62

6. 裂变产物 γ 射线干扰的消除 利用双道扣除法可以对裂变产物的干扰加以扣除。其原理和扣除方法如下：

(1) 单一裂变产物干扰的消除

钚的测量道位（第一道）所测计数率 N_1 等于钚本身计数率 N 加干扰元素在第一道的贡献 N_{fp} 。

$$N_1 = N + N_{\text{fp}} \quad (1)$$

干扰元素在第一道的贡献与其在第二道的计数率成正比，

$$\text{即 } N_{\text{fp}} = K \cdot N_2 \quad (2)$$

(2) 式中 K 为比例系数， N_2 为在第二道测得的计数率（裂变产物在第二道的计数率）。将(2)式代入(1)式得：

$$N = N_1 - K N_2 \quad (3)$$

N_1 和 N_2 是对样品的实测数据， K 是予先用已知量的裂片求得的，因此，可以根据(3)式算出钚的计数 N ，从而得到钚的含量。

(2) 混合裂变产物（锆、铌、钌、铑）干扰的消除

固定第一道的测量条件，使第二道道宽不变（或采用积分档），改变第二道的甄别阈 (V)，则可分别测得各裂变产物的 $K-V$ 曲线。适当地选择测量条件，可以使各条曲线相交于一点。本实验采用积分测量，所得 $K-V$ 曲线如图 7 所示。在其交点条件下，各裂片元素对钚-239 道的贡献是相同的。因此，测得裂变产物在第二道总的计数率 N_2 和第一道的总计数率 N_1 ，就可以按(3)式求出钚的净计数率 N ，进而查得钚的含量。本实验的 K 值为 0.24。

以表 5 的工作条件对 ^{95}Zr - ^{95}Zb 、 ^{106}Ru - ^{106}Rh 及混合干扰进行的验证，数据分别列入表 6、7、8。

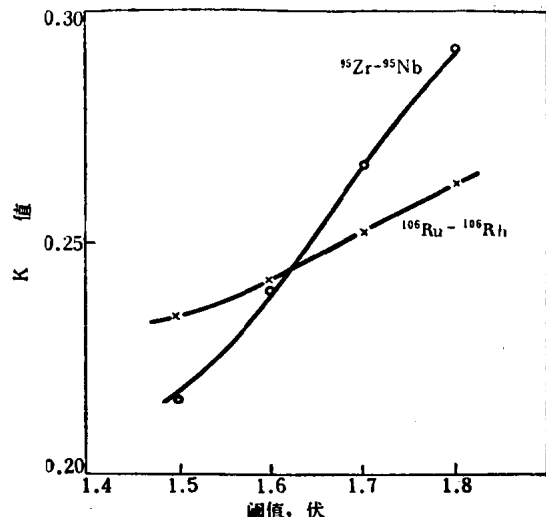


图 7 干扰元素的 K-V 曲线

表 5 仪器工作条件

道位	第一道	第二道
甄别阈	0.4 伏	1.62 伏
道宽	1.4 伏	积分
高压	860 伏	860 伏
放大倍数	80	20

表 6 ⁹⁵Zr-⁹⁵Nb 对 X 射线测量的影响

⁹⁵ Zr- ⁹⁵ Nb, ×10 ⁻³ 毫克镭当量/毫升	加入钚计数率, ×10 ⁶ 脉冲/分	第一道计数率 N ₁ , ×10 ⁵ 脉冲/分	第二道计数率 N ₂ , ×10 ⁵ 脉冲/分	N ₁ -K N ₂	相对偏差, %
0.34	1.352	1.416	0.320	1.339	-0.96
1.70	1.352	1.479	0.591	1.337	-1.11
8.50	1.352	1.585	1.012	1.342	-0.74

表 7 ¹⁰⁶Ru-¹⁰⁶Rh 对 X 射线测量的影响

¹⁰⁶ Ru- ¹⁰⁶ Rh, ×10 ⁻³ 毫克镭当量/毫升	加入钚计数率, ×10 ⁶ 脉冲/分	第一道计数率 N ₁ , ×10 ⁵ 脉冲/分	第二道计数率 N ₂ , ×10 ⁵ 脉冲/分	N ₁ -K N ₂	相对偏差, %
0.16	1.010	1.041	0.152	1.004	-0.60
0.30	0.8327	0.8336	0.278	0.8269	-0.70
0.60	1.095	1.216	0.586	1.075	-1.8
1.50	1.095	1.356	1.428	1.013	-0.74

表 8 混合裂变产物对 X 射线测量的影响

⁹⁵ Zr- ⁹⁵ Nb, ×10 ⁻³ 毫克镭当量/毫升	¹⁰⁶ Ru- ¹⁰⁶ Rh, ×10 ⁻³ 毫克镭当量/毫升	加入钚计 数率, ×10 ⁶ 脉冲/分	第一道计数 率 N ₁ , ×10 ⁵ 脉冲/分	第二道计数 率 N ₂ , ×10 ⁵ 脉冲/分	N ₁ -K N ₂	相对偏差, %
0.29	0.22	0.8426	0.8768	0.1628	0.8377	-0.58
1.34	0.58	0.8679	0.9030	0.1670	0.8629	-0.57
2.83	1.00	0.8679	1.029	0.7316	0.8534	-1.7

从表 6、7 可以看出：⁹⁵Zr-⁹⁵Nb 的强度小于 8.5×10^{-3} 毫克镭当量/毫升时，所引起的误差小于 1%，¹⁰⁶Ru-¹⁰⁶Rh 的强度小于 1.5×10^{-3} 毫克镭当量/毫升时，所引起的误差小于 5%，钉、铑引起的误差是比较大的。从表 8 可以看出：⁹⁵Zr-⁹⁵Nb 强度小于 2.8×10^{-3} 毫克镭当量/毫升，¹⁰⁶Ru-¹⁰⁶Rh 强度小于 1×10^{-3} 毫克镭当量/毫升时，共同引起的误差小于 2%，这说明共同干扰的贡献系数 K 值选择得合理。裂变产物引起的误差多为负值，这是因为高能 γ 射线产生的大脉冲促使放大器阻塞和过载引起漏计造成的。裂片引起漏计的实验数据

列入表 9。

表 9 仪器的漏计

$\text{^{95}Zr-^{95}Nb}$, $\times 10^{-3}$ 毫克镭当量/毫升	$\text{^{106}Ru-^{106}Rh}$, $\times 10^{-3}$ 毫克镭当量/毫升	钚计数率 N , $\times 10^4$ 脉冲/分	$\text{^{95}Zr-^{95}Nb}, \text{^{106}Ru-^{106}Rh}$ 总计数率 N_f , $\times 10^4$ 脉冲/分	实测得的 $N + N_f$, $\times 10^4$ 脉冲/分	漏计, %
0.29	0.22	8.679	0.419	9.030	0.75
1.34	0.58	8.679	1.770	10.29	1.5
2.83	1.00	8.679	3.835	12.16	2.8

从表 9 可见, 当 $\text{^{95}Zr-^{95}Nb}$ 大于 1.3×10^{-3} 毫克镭当量/毫升, $\text{^{106}Ru-^{106}Rh}$ 大于 0.5×10^{-3} 毫克镭当量/毫升时, 漏计是需加以校正的。

三、方法的准确度

1. 实际样品测量 对工艺样品进行测量, 与电位滴定法结果进行比较, 数据列入表 10。

表 10 样品对照测量结果

样品名称	序号	X射线计数法结果*, 克/升	电位滴定法结果, 克/升	相对偏差, %
112	1	0.481	0.5045	-4.66
	2	0.553	0.5774	-4.20
	3	0.593	0.6142	-3.45
	4	0.576	0.6081	-5.28
	5	0.570	0.5943	-4.09
412	1	6.65	6.876	-3.29
	2	7.20	7.512	-4.15
	3	6.78	7.073	-4.14
	4	7.15	7.377	-3.08
	5	7.53	7.910	-4.80
417	1	6.53	6.757	-3.36
	2	6.93	7.146	-3.02
	3	7.21	7.366	-2.12
	4	7.55	7.770	-2.83
	5	6.13	6.307	-2.81

* X射线法是以纯钚标准曲线得到的结果。

从表 10 数据看出, X射线法结果比电位滴定法偏低 3—5%, 原因是: “412”“417”样品中含铁离子 4 克/升, 铁的吸收造成了结果偏低; 112 样品中除含有 0.2 克/升的铁以外, 裂片的放射性也是较强的(总强度在 10^{-3} 毫克镭当量/毫升)。这里偏低较多是由于杂质吸收和仪器漏计双重因素造成的。

采用相应的工作曲线、稀释等措施后, 所测结果列入表 11。

从表 11 可看出, 测量“112”样品, 误差小于 2%, 测量“412”和“417”样品, 误差小于 1%。

2. 样品加入回收 在含量为 10^{-1} 克/升量级的工艺样品中, 加入不同量的钚, 回收结果见表 12。

表 11 实际样品校正测量结果

样品名称	序号	X射线计数法结果, 克/升	电位滴定结果, 克/升	相对偏差, %	备注
112	1	0.501	0.5045	-0.69	
	2	0.574	0.5774	-0.59	
	3	0.613	0.6142	-0.20	1)
	4	0.601	0.6081	-1.17	
	5	0.591	0.5943	-0.56	
412	1	6.83	6.876	-0.67	
	2	7.49	7.512	-0.30	
	3	7.09	7.073	+0.24	2)
	4	7.44	7.377	+0.85	
	5	7.83	7.910	-1.01	
417	1	6.78	6.757	+0.34	
	2	7.19	7.146	+0.62	
	3	7.43	7.366	+0.87	2)
	4	7.79	7.770	+0.26	
	5	6.29	6.307	-0.27	

1) 相应的工作曲线(加入铁, 未加入裂片元素)。

2) 样品用 1M 硝酸稀释 10 倍后测定。

表 12 在 5 毫升样品中重加钚的回收率

样品名称	样品中钚含量, 克/升	加入钚量, 毫克	测得总钚浓度, 克/升	回收钚量, 毫克	回收率, %
112	0.396	0.885	0.573	0.885	100
112	0.396	0.885	0.572	0.880	99.4
112	0.391	1.77	0.750	1.80	102
404	0.480	0.500	0.580	0.500	100
404	0.333	0.885	0.513	0.900	102
404	0.392	0.885	0.571	0.895	101

四、方法精密度

对两种不同浓度的工艺样品, 进行六次测定, 计算均方偏差, 结果列入表 13。

表 13 测量样品的精密度

样品名称	测量结果, 克/升	平均结果, 克/升	偏差, 克/升	相对标准偏差, %
112	0.485	0.485	0	
	0.480		-0.005	
	0.486		+0.001	
	0.486		+0.001	±0.5
	0.484		-0.001	
	0.487		+0.002	
412	5.91	5.90	+0.01	
	5.91		+0.01	
	5.92		+0.02	
	5.90		0	±0.3
	5.88		-0.02	
	5.88		-0.02	

结 论

1. 此方法不受化学状态的限制、不破坏原样，可密闭测量、简便、快速。
2. 实际样品中的镎-237 和 镎-241 是极微量的，其干扰可忽略。样品中钚-239 与钚-240 的比值是基本固定的，标准中同位素的组成与样品相同，因此，无需考虑同位素干扰。
3. 为消除操作者的某些过失误差，可随时用固体标准源检查。

参 考 资 料

- [1] G. H. Gruber, DP-734(1962)。
- [2] 《流线分析》编辑组编，《流线分析交流资料汇编》，30页，原子能出版社，北京，1974年。
- [3] W. C. Roesch and J. W. Baum, Proceedings of the Second United Nations International Conference on the Peaceful uses of Atomic Energy, Geneva, 1955, P/756, V. 23, P. 142, United Nations. Geneva(1958).

三异辛胺萃取 α 计数法测定微量钚

金琪新 于长贤 康辰芳 窦世仁 于文芝

在硝酸介质中，用 5% 三异辛胺-二甲苯溶液萃取钚，有机相制源继以 α 测量法进行测定。提出了从高铀和高裂变产物样品中分离测定微量钚的方法。钚的回收率在分析高铀样品时可达 95% 以上，在分析低铀样品时可达 97% 以上。当计数率为 10^4 — 10^5 脉冲/分时，精密度为 ± 2 —10%。

一、引 言

本实验的目的是建立一个从高铀和裂变产物样品中较快地分离和测定钚-239 的方法。由于 α 测量受自吸收、铀的 α 贡献和裂变产物 β 放射性的影响，所以必须首先将钚与共存物分离，制出能消除铀的吸收、 α 贡献以及其它裂变元素干扰的测量源。

根据有关资料^[1-4] 报道，叔胺萃取具有平衡时间短、对钚选择性好的性质。实验证实了用三异辛胺萃取钚操作简便、快速，对钚(IV) 萃取率高，选择性好。根据这些特点，制定了分析程序。该程序已成功地用于热铀处理工艺的控制分析。

二、试剂与仪器

三异辛胺(TIOA) 纯度 98%。

二甲苯、硝酸、亚硝酸钠、还原铁粉、氨碳酸均为二级。

5% TIOA-二甲苯溶液 取5毫升三异辛胺，加入95毫升二甲苯和50毫升4M硝酸，在分液漏斗中手摇三分钟进行盐化，静止分相，将有机相转入棕色瓶中。

0.2M 氨基磺酸亚铁溶液 称氨基磺酸3.88克，还原铁粉1.10克，溶于0.2M硝酸（缓缓加热至反应完全）过滤，用0.2M硝酸稀释至100毫升。

α 闪烁探头 FJ-309型。

定标器 DB-1型。

石墨烘台 供有机相制源用。

三、条件试验

1. 硝酸浓度对萃取钚(IV)的影响

在不同硝酸浓度下进行了钚(IV)的萃取实验，其萃取条件：相比（有机相：水相）为1:2，室温，萃取半分钟。结果见图1。由图1可以看出，在很广泛的酸度范围内（3—8M），钚(IV)的回收率几乎是相同的。资料[1]报道，胺类在4M硝酸中对钚(IV)萃取系数最大，本实验证实了这点。因此，实际样品分析的水相酸度控制为4M。

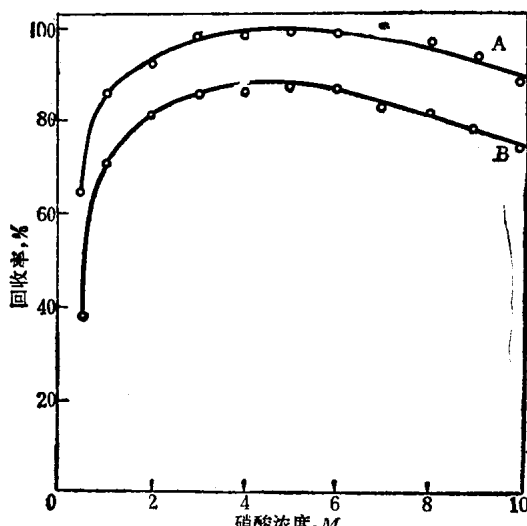


图1 硝酸浓度对钚(IV)萃取回收率的影响
A——5%TIOA-二甲苯；B——2%TIOA-二甲苯。

表1 萃取时间对钚回收率的影响

萃取时间，秒	加入钚量，cpm	有机相计数，cpm	钚(IV)回收率，%
5		9942	103
10		9890	102
15	9700	9781	101
30		9635	99.3
45		9635	99.3
60		9619	99.2

3. 三异辛胺浓度对萃取钚的影响

按照分析程序，做了不同浓度三异辛胺对钚回收率的实验，结果见图2。随着三异辛胺